



تحلیل ژاکوبین، مدل سازی دینامیک و کنترل تطبیقی ربات شش کابلی با شش درجه آزادی

گلناز جعفری چوگان^۱، محمد حسن قاسمی^{۲*}، مرتضی دردل^۲

۱- دانشجوی کارشناسی ارشد، مهندسی مکانیک، دانشگاه صنعتی بابل، بابل

۲- استادیار، مهندسی مکانیک، دانشگاه صنعتی بابل، بابل

*بابل، صندوق پستی ۷۱۱۶۷۴۷۱۴۸

اطلاعات مقاله

مقاله پژوهشی کامل

دریافت: ۰۶ اذر ۱۳۹۳

پذیرش: ۲۴ بهمن ۱۳۹۳

ارائه در سایت: ۱۸ اسفند ۱۳۹۳

کلید واژگان:

ربات‌های کابلی

روشن لامگرانز

خطی سازی پسخوراند

کنترل تطبیقی

پایداری لیپانوف

در این مقاله کنترل تطبیقی یک ربات موازی شش کابلی با شش درجه آزادی ارائه می‌شود. کنترل تطبیقی یک روش برای کنترل سیستم‌هایی است که عدم قطعیت در پارامترهای آن وجود دارد. هدف اصلی این تحقیق، روابط مسیر از پیش تعیین شده ربات موازی کابلی فضایی با وجود عدم قطعیت در جرم و معانه‌های اینرسی مجری نهایی و حفظ عملکرد سیستم در مقابل این تغییرات نامشخص می‌باشد. قبل از پرداختن به مبحث کنترل، ماتریس ژاکوبین ربات استخراج شده است سپس معادلات دینامیکی ربات با استفاده از روش لامگرانز بدست آمده و به فرم استاندارد نوشته شده است. روش بیان شده برای طراحی سیستم کنترل تطبیقی تلقیقی از روش‌های کنترل خطی سازی پسخوراند و توری پایداری لیپانوف است. قانون کنترل به روش خطی سازی پسخوراند و قانون تطبیق با استفاده از معیار پایداری لیپانوف طراحی شده است. با توجه به ویژگی منحصر به فرد کابل‌ها که تنها نیروی کششی تحمل می‌کنند، مقدار کشش کابل‌ها در طول حرکت باید مثبت باشد. در این مقاله روشی استفاده می‌شود که مقدار کشش شش کابل تحت هر شرایط اولیه و هر مسیر مطلوبی، مثبت بدست آید. کنترل تطبیقی به گونه‌ای طراحی شده که پارامترهای مجهول سیستم به درستی تخمین زده می‌شوند و پایداری سیستم تضمین می‌گردد. از طریق چندین شبیه‌سازی عددی صحت سینماتیک، مدل دینامیکی و عملکرد کنترل اعمال شده شده است. به منظور نشان دادن کارایی روش کنترل تطبیقی در برابر نامعینی‌ها، مقایسه‌ای با روش خطی سازی پسخوراند صورت گرفته است.

Jacobian analysis, dynamic modeling and adaptive control of a cable robot with six degrees of freedom and six cables

Golnaz Jafari Chogan, Mohammad Hasan Ghasemi*, Morteza Dardel

Department of Mechanical Engineering, Babol University of Technology, Babol, Iran

*P.O.B. 7116747148, Babol, Iran, mhghasemi@nit.ac.ir

ARTICLE INFORMATION

Original Research Paper
Received 27 November 2014
Accepted 13 February 2015
Available Online 09 March 2015

Keywords:
Cable suspended robots
Lagrange method
feedback linearization
adaptive control
Lyapunov stability theorem

ABSTRACT

In this paper, adaptive control method is presented for a parallel cable with six degrees of freedom and six cables. Adaptive control method is a way to control systems when there is uncertainty in the parameters. The main objective of this study is tracking trajectory of a parallel cable robot in which there is uncertainty in the mass of end effector and moments of inertia. Before addressing the issue of control, Jacobian matrix of robot is obtained. Then the dynamic equations of motion are derived using Lagrange method and are written in standard form. The presented adaptive control method is a combination of feedback linearization method and Lyapunov stability theorem. Using feedback linearization method, control law is designed and adaptation law is planned by use of Lyapunov stability theorem. Due to the unique feature of cable suspended robots where by cables can only pull the end effector, the cable tension values must be positive. In this paper, a method is used by which cable tension values are obtained positive for each initial condition and any desired path. Adaptive controller is designed such that unknown parameters of system are correctly estimated and system stability is guaranteed. Through several numerical simulations accuracy of kinematic, dynamic model and applied controller is shown. In order to demonstrate the effectiveness of adaptive control, the comparison between the adaptive control method and the method of feedback linearization is performed.

-۱ مقدمه

ربات‌های موازی کابلی یک نوع خاص از ربات‌های موازی هستند که در آن به جای بازویی کابل از کابل استفاده شده است. ساختار نسبتاً ساده‌ای دارند. مجری نهایی توسط تعدادی کابل به صفحه ساکن متصل می‌شود و جایه‌جایی

Please cite this article using:

G. Jafari Chogan, M. H. Ghasemi, M. Dardel, Jacobian analysis, dynamic modeling and adaptive control of a cable robot with six degrees of freedom and six cables, *Modares Mechanical Engineering*, Vol. 15, No. 4, pp. 391-400, 2015 (In Persian)

برای ارجاع به این مقاله از عبارت ذیل استفاده نمایید:

کنترلری مقاوم برای پایدار ساختن ربات کابلی با وجود عوامل ناشناخته خارجی، استفاده شده است که روشنی مؤثر می‌باشد [7]. کنترل ربات موازی کابلی بدون کابل افزونه، تحت قیود ورودی، با استفاده از روش فیدبک گاورنر مرجع⁶ توسط سوریوک و آگراوال در سال 2005 بررسی شده است. کنترلر اعمال شده براساس تئوری خطی‌سازی فیدبک می‌باشد که برای پایداری مجانبی سیستم در نظر گرفته شده است. در این روش، برای برقراری قیود کشش مثبت کابل، سیگنال‌های مطلوب سیستم با سیگنال مرجع مجازی تعویض می‌شود. معادلات دینامیکی با استفاده از قانون اویلر نیوتون نوشته شده است. طرح ارائه شده یک روش مؤثر برای پیش‌بینی حالت‌های سیستم با استفاده از معادلات دینامیکی خطی بدست آمده از خطی‌سازی فیدبک می‌باشد [8]. در سال 2008 زی و همکاران از روش کنترل فازی تابعی انتگرالی که می‌تواند عملکرد کنترلر را در برابر خطاهای حالت پایدار بالا ببرد، برای کنترل ارتعاش ناشی از نیروی باد که به صورت تصادفی به مجری نهایی اعمال می‌شود در ردیابی مسیر استفاده نمودند [9]. علیخانی و همکاران از کنترل مدد لغزشی⁷ مقاوم به منظور کنترل ربات کابلی معلق مقایس بزرگ⁸ در حضور اغتشاشات ناشناخته اما محدود، و همزمان با حفظ کشش مثبت کابل‌ها استفاده نمودند. از فضای پوچ⁹ ماتریس ژاکوبین¹⁰ برای فراهم نمودن کشش مثبت در کابل‌ها بهره گرفتند پایداری قانون کنترل ارائه شده با استفاده از تئوری دوم لیاپانوف اثبات شده است [10]. در سال 2011 زارع و همکاران، یک کنترل کننده تطبیقی¹¹ را برای یک ربات موازی کابلی با همکاران، در جرم و ممان‌های اینرسی مجری نهایی نشان دادند. این روش نامعینی¹² در جرم و ممان‌های اینرسی دینامیکی که عدم قطعیت در پارامترهای آن وجود دارد مناسب است به گونه‌ای که تعییب کامل مسیر و تخمین پارامترها امکان‌پذیر می‌باشد. همچنین نشان دادن با اعمال روش دینامیک معکوس در حضور عدم قطعیت، مسیر تعیین شده با دقت طی نشده است [11]. مدل سازی دینامیکی و کنترل ربات کابلی فضایی با در نظر گرفتن انعطاف کابل، در سال 2011 توسط خسروی و نقی‌راد ارائه شده است [12].

هدف اصلی این مقاله، استخراج روابط سینماتیکی، مدل سازی دینامیکی و کنترل تطبیقی ربات موازی شش کابلی با شش درجه آزادی به منظور ردیابی مسیر از پیش تعیین شده با وجود عدم قطعیت در جرم و ممان‌های اینرسی مجری نهایی می‌باشد. همچنین برای مثبت‌سازی کشش کابل‌ها الگوریتمی اعمال می‌شود که به ازای مسیرها و شرایط اولیه مختلف، تمامی کابل‌ها در مدت زمان حرکت در کشش باقی می‌مانند. برای نشان دادن کارایی روش کنترل ارائه شده، مقایسه‌ای با روش خطی‌سازی پسخوراند انجام شده است. ساختار مقاله از 5 بخش تشکیل شده است: در بخش 2 ماتریس ژاکوبین ربات که در تحلیل سینماتیک، دینامیک و کنترل ربات مورد استفاده قرار می‌گیرد، استخراج شده است. در بخش 3 معادلات حرکت ربات با استفاده از روش لاغرانژ بدست آمده است. در بخش 4 کنترل تطبیقی، با هدف تخمین پارامترهای مجھول سیستم و پایدار ساختن مجری نهایی همزمان با حفظ کشش مثبت کابل‌ها، طراحی شده است. برای نشان دادن صحت مدل سینماتیکی، دینامیکی و تأثیر کنترل طراحی شده چندین شبیه‌سازی در نرم‌افزار متلب¹³ انجام شده است که نتایج آن در بخش 5 بیان می‌شود.

6- Reference governor based controller

7- Sliding Mode Control

8- Cable-Direct-Driven Robots

9- Null space

10- Jacobian

11- Adaptive

12- Uncertainly

13- Matlab

ربات‌های موازی از جمله دقت و قابلیت حمل بار زیاد، دارای برتری‌هایی به علت استفاده از کابل در ساختار آن‌ها می‌باشند. از جمله این برتری‌ها می‌توان به فضای کاری گستردگی، سبک وزن بودن، انعطاف و قابلیت مانور زیاد، مصرف انرژی کم و موئاز و دموئاز آسان اشاره کرد. به علت این ویژگی‌های مطلوب ربات‌های کابلی مورد توجه صنعت قرار گرفته‌اند. از آن‌ها در پژوهشی، توانبخشی، سفرهای فضایی، ساخت آنتن و تلسکوپ رادیویی، دستگاه‌های ورزشی، بازرسی و تعمیر بدنه هواپیما و کشتی، و حمل و تخلیه بار در صنعت کشتیرانی استفاده شده است.

در زمینه سینماتیک، دینامیک و کنترل ربات‌های کابلی تاکنون تحقیقاتی صورت گرفته است که به چند مورد از آن‌ها در ادامه اشاره می‌شود. افساری و مقداری در سال 2007 روش و متغیرهای جدیدی برای مطالعه سینماتیک و دینامیک ربات کابلی شش درجه آزادی ارائه نمودند. با استفاده از این متغیرهای جدید و معادله لاغرانژ¹ به معادلات حرکت جدید رسیدند که با معادلات متعارف معمولی که برای مطالعه ربات‌های کابلی شش درجه آزادی استفاده می‌شود، متفاوت است. این روش زمان محاسبات برای تعیین فضای کاری ربات و همچنین زمان مورد نیاز برای حل معادلات حرکت را به طور قابل ملاحظه‌ای کاهش داده است [1]. در سال 2008 تحلیل سینماتیک ربات کابلی سه درجه آزادی با یک درجه افزونگی توسعه بازآمد و همکارانش بررسی شده است. که در آن معادلات دینامیکی غیرخطی مکانیزم با استفاده از روش نیوتون اویلر² استخراج شده است. به علاوه یک مدل ساده برای کابل که شامل اثرات الاستیکی و دمپینگ می‌باشد ارائه شده است [2]. در سال 2002، باصر و آگراوال کنترل ربات موازی کابلی فضایی با صفحه متحرک به شکل مثلث را بررسی نمودند. دو کنترل خطی‌سازی پسخوراند³ و لیاپانوف⁴ به ربات اعمال شده است. برای نشان دادن مطابقت معقول نتایج تئوری با نتایج آزمایشگاهی، کنترلرها به نمونه واقعی اعمال شده است [3]. مهمترین موضوع در ربات‌های کابلی، باقی ماندن کابل‌ها در کشش می‌باشد. برای این منظور در بسیاری از موارد از کابل افزون بر درجات آزادی استفاده می‌شود. لنز برگر و همکاران، در سال 1993 قابلیت کشش را به عنوان یک ویژگی ربات‌های کابلی تعریف کردند که نشان می‌دهد همه کابل‌ها تحت هر بارگذاری با یک نیروی تعادل به اندازه کافی بزرگ در کشش باقی می‌مانند [4]. خلیل پور و همکاران از وسعت فضای کاری کنترل پذیر ربات، ناحیه‌ای که شرط کششی بودن کابل‌ها برقرار است، به عنوان معیاری برای طراحی بهینه ربات بهره برند [5]. در سال 2005 سوریوک و همکاران کنترل مقاوم ربات کابلی دو مرحله‌ای صفحه‌ای⁵ را در حضور اغتشاش مورد بررسی قرار دادند. این ربات‌ها برای حمل و انتقال بار در دریا استفاده می‌شود. برای در کشش قرار دادن کابل‌ها از کابل‌های افزونه استفاده شده و در مدل سازی دینامیکی ربات، شرایط دریا به عنوان اغتشاش در نظر گرفته شده است [6]. در سال 2005 سوریوک و رایو یک هلیکوپتر را که یک ربات کابلی برای انتقال بار به آن متصل شده مدل سازی کردند. کنترل کننده دو مقیاس زمانی برای کنترل موقعیت ربات کابلی پیشنهاد شده است که کنترل هلیکوپتر و ربات کابلی به طور مستقل از هم امکان‌پذیر می‌کند. فرض شده که حرکت هلیکوپتر نامشخص باشد به همین علت در طراحی کنترل کننده، حرکت هلیکوپتر به عنوان اغتشاش در نظر گرفته شده است بنابراین از

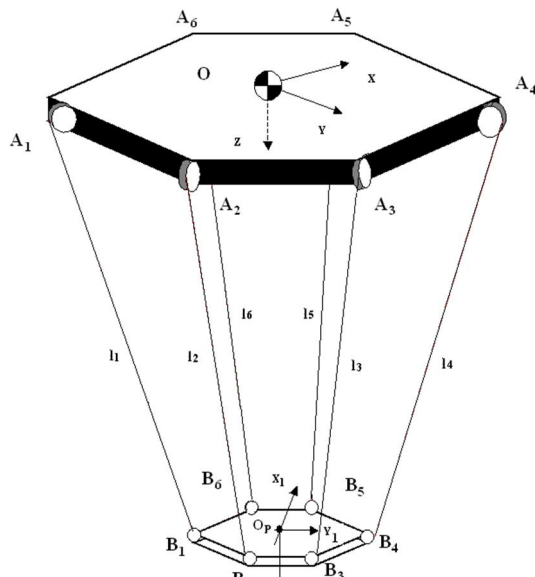
1- Lagrange

2- Newton-Euler

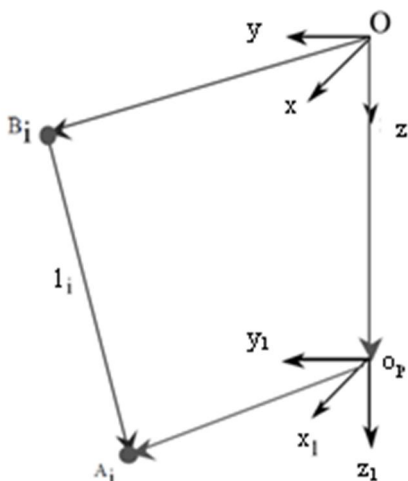
3- Feedback Linearization

4- Lyapunov

5- Dual-Stage Planar Cable Robot



شکل 1 شماتیک ربات شش کابلی فضایی



شکل 2 حلقه سینماتیکی کابل i

$$2\dot{l}_i l_i = (\dot{P}_E + \dot{R}b_i + R\dot{b}_i - \dot{a}_i)^T l_i + \\ l_i^T (\dot{P}_E + \dot{R}b_i + R\dot{b}_i - \dot{a}_i) = \quad (4)$$

$$(\dot{P}_E + \dot{R}b_i)^T l_i + l_i^T (\dot{P}_E + \dot{R}b_i) = 2(\dot{P}_E + \dot{R}b_i)^T l_i \quad (4)$$

در نهایت با ساده‌سازی رابطه فوق، مشتق طول کابل به صورت رابطه (5) بدست می‌آید:

$$\dot{l}_i = \dot{P}_E^T l_i / l_i + (\dot{R}b_i)^T l_i / l_i \quad (5)$$

عبارت سمت راست رابطه فوق اسکالر است و ترانهاده یک کمیت اسکالر برابر خودش می‌باشد بنابراین می‌توان به صورت رابطه (6) (بازنویسی کرد):

$$\dot{l}_i = \left(\frac{l_i}{l_i} \right)^T \dot{P}_E + \left(\frac{l_i}{l_i} \right)^T \dot{R}b_i = \\ \left(\frac{l_i}{l_i} \right)^T \dot{P}_E + \left(\frac{l_i}{l_i} \right)^T (\omega \times Rb_i) \quad (6)$$

2- ماتریس ژاکوبین ربات شش کابلی شش درجه آزادی

در رباتیک، اغلب از ژاکوبین برای مربوط ساختن سرعت مفاصل به سرعت انتهای بازو استفاده می‌شود [13]. در ربات‌های کابلی، ماتریس ژاکوبین رابطه بین سرعت مجری نهایی و سرعت کابل، تعريف می‌شود. علاوه بر آن، تبدیل لازم برای پیدا کردن نیروها و گشتاورهای اعمالی به مجری نهایی را ایجاد می‌کند که در بخش 3 از آن استفاده خواهد شد. همچنین در این مقاله از ماتریس ژاکوبین برای تحلیل سینماتیک معکوس ربات استفاده شده است. در ربات‌های کابلی حل مسأله سینماتیک معکوس به این صورت می‌باشد که با دانستن موقعیت مجری نهایی، طول کابل‌ها بدست می‌آید.

2-1- معرفی سیستم مورد بررسی

در شکل 1 شماتیکی از ربات موازی شش کابلی نشان داده شده است. ربات مورد نظر از دو صفحه تشکیل شده است صفحه ثابت که با نقاط اتصال A_1, \dots, A_6 مشخص شده است که به آن پایه می‌گویند و صفحه متحرک که بخش متحرک ربات را تشکیل داده و نقاط B_1, \dots, B_6 روی آن قرار گرفته است. یک دستگاه مختصات ساکن با بردارهای پایه X, Y, Z در نقطه O و یک دستگاه متحرک با بردارهای پایه X_1, Y_1 و Z_1 روی صفحه متحرک قرار دارد. مبدأ این دستگاه مختصات در مرکز جرم صفحه متحرک واقع شده است. نقاط روی صفحه پایه در فواصل شعاعی یکسان r_b از مبدأ O قرار گرفته‌اند. نقاط اتصال کابل به صفحه متحرک در فواصل شعاعی یکسان r_e از مبدأ O_p قرار دارند. مجری نهایی ربات مورد بررسی دارای شش درجه آزادی می‌باشد و از شش کابل برای به حرکت در آوردن آن استفاده شده است بنابراین ربات دارای افزونگی نمی‌باشد. همچنین از جرم کابل‌ها در مقایسه با جرم مجری نهایی صرف‌نظر شده است.

2-2- استخراج ماتریس ژاکوبین ربات شش کابلی فضایی

در این بخش با مشتق‌گیری از اندازه طول کابل نسبت به زمان، ماتریس ژاکوبین بدست می‌آید. بردار موقعیت نقاط A_i نسبت به B_i یعنی بردار کابل، که در شکل 2 نشان داده شده است در دستگاه مختصات ساکن به صورت رابطه (1) می‌باشد:

$$l_i = P_E + Rb_i - a_i, \quad i = 1, \dots, 6 \quad (1)$$

در رابطه فوق، P_E بردار موقعیت مبدأ ساکن O ، و a_i, b_i به ترتیب بردار موقعیت نقاط اتصال کابل به صفحه متحرک و ثابت می‌باشد [8]. R ماتریس دوران صفحه متحرک نسبت به دستگاه ساکن است که به صورت رابطه (2) می‌باشد.

$$R = \begin{bmatrix} C\varphi C\theta & S\psi S\theta C\varphi - C\psi S\varphi & C\psi S\theta C\varphi + S\psi S\varphi \\ C\theta S\varphi & S\psi S\theta S\varphi + C\psi C\varphi & C\psi S\theta S\varphi - C\varphi S\psi \\ -S\theta & S\psi C\theta & C\psi C\theta \end{bmatrix} \quad (2)$$

در رابطه (2)، C و S بیانگر توابع مثلثاتی کسینوس و سینوس هستند. θ, ψ و φ زوایای دوران مرکز جرم مجری نهایی حول محورهای X, Y و Z می‌باشند. اندازه هر بردار کابل نسبت به دستگاه مختصات ساکن از رابطه (3) محاسبه می‌شود:

$$l_i^2 = l_i^T l_i \quad (3)$$

با توجه به رابطه فوق، مشتق اندازه هر بردار کابل نسبت به زمان، به صورت رابطه (4) بدست می‌آید:

معروف است قرار داده می‌شود. معادله لاغرانژ، معادله‌ای است که بر حسب مشتق تابع لاغرانژین نسبت به مختصات تعیین یافته و نیز مشتق زمانی تابع لاغرانژین نسبت به سرعت‌های تعیین یافته نوشته شده است:

$$\frac{d}{dt} \left(\frac{\partial L(x, \dot{x})}{\partial \dot{x}} \right) - \frac{\partial L(x, \dot{x})}{\partial x} = \tau \quad (14)$$

در رابطه فوق، τ نیرو و گشتاورهای خارجی وارد شده بر مجری نهایی است. مختصات تعیین یافته به صورت $[x \ y \ z \ \psi \ \theta \ \varphi]^T$ در نظر گرفته شده است. همچنین فرض شده کابل‌ها الاستیک و بدون جرم باشند. چون از جرم کابل‌ها و دینامیک عملکرها صرف نظر شده است، دینامیک ربات تنها به مشخصات دینامیکی مجری نهایی بستگی دارد. انرژی جنبشی مجری نهایی از رابطه (15) محاسبه می‌شود.

$$T(x, \dot{x}) = \frac{1}{2} m \dot{P}_E^T \dot{P}_E + \frac{1}{2} \omega^T \omega \quad (15)$$

در رابطه بالا، m بیانگر جرم مجری نهایی است. سرعت زاویه‌ای آن با استفاده از سینماتیک جسم صلب محاسبه می‌شود [8]:

$$\omega = P \dot{\Theta}$$

$$P = \begin{bmatrix} 1 & 0 & 0 & -\sin \theta \\ 0 & \cos \psi & \sin \psi \cos \theta & 0 \\ 0 & -\sin \psi & \cos \psi \cos \theta & 0 \end{bmatrix} \quad (16)$$

انرژی پتانسیل به صورت رابطه (17) می‌باشد:

$$U = mgz \quad (17)$$

که g شتاب گرانش است. با جایگذاری رابطه‌های انرژی جنبشی و پتانسیل در رابطه لاغرانژ، معادله‌های حرکت ربات شش کابلی شش درجه آزادی بدست آمد که به فرم استاندارد (18) مرتب شده است:

$$M(x)\ddot{x} + N(x, \dot{x}) + G(x) = \tau \quad (18)$$

در رابطه بالا، M ماتریس ایرسی، N ترم‌های کریولیس و مرکزگرا و G بردار گرانش می‌باشد. که به کمک نرمافزار میبل بدست آمد. با توجه به آنکه معادلات بر اساس مختصات تعیین یافته استخراج شده است، τ نیروهای محرك فرضی است که در جهت‌های $x, y, z, \psi, \theta, \varphi$ به مجری نهایی وارد می‌شود که به آن‌ها نیروهای تعیین یافته² گفته می‌شود. تنها نیروی خارجی اعمالی به مجری نهایی کشش کابل‌ها می‌باشد. می‌توان اثبات کرد رابطه نیروی تعیین یافته برای ربات کابلی مورد بررسی مطلق رابطه (19) است

:[14] و [12-6]

$$\tau = [F_x, F_y, F_z, M_x, M_y, M_z]^T = -J^T(x)u \quad (19)$$

بنابراین معادله حرکت (18)، به صورت رابطه (20) نوشته می‌شود:

$$M(x)\ddot{x} + N(x, \dot{x}) + G(x) = -J^T(x)u \quad (20)$$

دقت شود که این معادلات فقط برای حالتی که نیروی ورودی u ، مثبت باشد صحت دارد. یعنی همه کابل‌ها باید در کشش باشند. با حل زمانی معادلات دینامیکی فوق به ازای ورودی مشخص u می‌توان پاسخ $(t)x$ را بدست آورد، که در بخش 5 به آن پرداخته خواهد شد.

4- کنترل تطبیقی ربات شش کابلی با شش درجه آزادی
هدف این بخش طراحی کنترلر تطبیقی برای ربات موازی کابلی به منظور

در رابطه بالا ω بردار سرعت زاویه‌ای مجری نهایی نسبت به دستگاه ساکن می‌باشد. با استفاده از روابط برداری (7):

$$D \cdot (A \times B) = B \cdot (D \times A) \quad (7)$$

رابطه (6) را می‌توان به صورت رابطه (8) نوشت:

$$\dot{l}_i = \frac{l_i}{l_i} \dot{P}_E + \omega \cdot \left(Rb_i \times \frac{l_i}{l_i} \right) \quad (8)$$

فرم نهایی سرعت کابل i ام به صورت رابطه (9) نوشته شده است.

$$\dot{l}_i = \left[\left(\frac{l_i}{l_i} \right)^T \left(Rb_i \times \frac{l_i}{l_i} \right)^T \right] \left[\dot{P}_E \right]_{\omega}, \quad i = 1, \dots, 6 \quad (9)$$

در رابطه فوق، \dot{P}_E سرعت خطی مرکز جرم مجری نهایی می‌باشد. در رابطه فوق مشاهده می‌شود که سرعت کابل i ام توسط ماتریس ژاکوبین با سرعت مجری نهایی در ارتباط است. سطر i ام ماتریس ژاکوبین ربات مورد نظر به صورت رابطه (10) می‌باشد:

$$J_i = \left[\left(\frac{l_i}{l_i} \right)^T \left(Rb_i \times \frac{l_i}{l_i} \right)^T \right], \quad i = 1, \dots, 6 \quad (10)$$

از کنار هم قرار دادن سرعت خطی و زاویه‌ای مرکز جرم مجری نهایی بردار تؤییست¹ حاصل می‌شود:

$$t = \begin{bmatrix} \dot{P}_E \\ \omega \end{bmatrix} \quad (11)$$

رابطه (9) در حالت کلی به صورت رابطه (12) بدست می‌آید:

$$J(x)t = \dot{J}(x) \quad (12)$$

که در آن \dot{J} بردار سرعت کابل‌ها می‌باشد. ماتریس ژاکوبین ربات شش کابلی با شش درجه آزادی ماتریسی 6×6 است. T برداری 6×1 و \dot{J} برداری 6×1 است. ژاکوبین را می‌توان با هر بعد ماتریسی تعریف کرد. تعداد سطرهای آن متناظر با تعداد کابل‌ها و تعداد ستون‌های آن برابر تعداد درجهات آزادی می‌باشد. در بازوی صفحه‌ای، دلیلی ندارد ژاکوبین بیش از سه ستون داشته باشد، اما در ربات کابلی با کابل‌های افزون، سطرهای زیادی را می‌توان برای آن اختیار کرد. طبق رابطه (12) اگر موقعیت مجری نهایی مشخص باشد طول کابل‌ها بدست می‌آید که این یک مسئله سینماتیک معکوس است. در بخش 5 یک شیوه‌سازی در این رابطه انجام خواهد شد.

3- مدل‌سازی دینامیکی ربات شش کابلی با شش درجه آزادی

در این بخش معادله‌های دینامیکی حاکم بر حرکت ربات با استفاده از رابطه لاغرانژ بدست آمد. در این روش معادله‌های حرکت با استفاده از مختصات تعیین یافته فرمول‌بندی می‌شود که استفاده از مختصات تعیین یافته، تحلیل دینامیکی سیستم را آسان می‌نماید [13]. اگر مختصات تعیین یافته با x و سرعت‌های تعیین یافته با \dot{x} نشان داده شود، رابطه لاغرانژین، که برابر تفاضل انرژی پتانسیل از انرژی جنبشی است، به صورت رابطه (13) خواهد بود:

$$L(x, \dot{x}) = T(x, \dot{x}) - U(x) \quad (13)$$

در واقع می‌توان گفت که کار اصلی، تعیین و محاسبه صحیح انرژی جنبشی و پتانسیل است. سپس این مقادیر در معادله‌ای که به معادله لاغرانژ حرکت

طرف دوم رابطه (27) در تضمین همگرایی و پایداری سیستم بسیار تأثیرگذار می‌باشد. اگر پارامترهای مجهول سیستم به درستی تخمین زده نشود پایداری سیستم کنترلی تضمین نمی‌شود. بنابراین باید قانون تطبیق برای تخمین پارامترها ارائه شود.

4-2- قانون تطبیق

در تخمین، صورتی برای تشخیص دقیق پارامترها وجود ندارد و ممکن است خطای پارامتر در مقداری غیر صفر همگرا شود. می‌توان نشان داد که معادله (20) نسبت به پارامترهای سیستم خطی است [15]:

$$M(x)\ddot{x} + N(x, \dot{x})\dot{x} + G(x) = K(x, \dot{x}, \ddot{x})\rho \quad (29)$$

در رابطه فوق، ρ بردار پارامترهای مجهول سیستم با 7 مؤلفه، که به صورت رابطه (30) است. K یک ماتریس 7×7 است که مؤلفه‌های آن توسط نرمافزار میپل تعیین گردید.

$$\rho = [m I_{xx} I_{yy} I_{zz} I_{xy} I_{xz} I_{yz}]^T \quad (30)$$

معادله خطای (27) به رابطه (31) تبدیل می‌شود:

$$\ddot{e} + k_d \dot{e} + k_p e = \tilde{M}^{-1} K(x, \dot{x}, \ddot{x}) \tilde{\rho} \quad (31)$$

که $\tilde{e} = \hat{e}$ خطای تخمین پارامتر است. معادله فوق را می‌توان در فرم فضایی حالت نوشت. برای این منظور متغیرهای فضایی حالت به صورت $X = [x_1 \ x_2]^T = [e \ \dot{e}]^T$ در نظر گرفته شده است. در نتیجه رابطه (31) به رابطه (32) تبدیل می‌شود:

$$\dot{X} = AX + B\tilde{M}^{-1}K\tilde{\rho} \quad (32)$$

ماتریس‌های A و B به صورت رابطه (33) است:

$$A = \begin{bmatrix} 0_{6 \times 6} & I_{6 \times 6} \\ -k_p & -k_d \end{bmatrix}, B = \begin{bmatrix} 0_{6 \times 6} \\ I_{6 \times 6} \end{bmatrix} \quad (33)$$

در طراحی قانون تطبیق، از روش مستقیم لیاپانوف استفاده شده است.تابع لیاپانوف به صورت رابطه (34) تعریف شده است که در آن هم خطای تعقیب و هم خطای تخمین پارامترهای سیستم به کار رفته است [15]:

$$V(X, \tilde{\rho}) = X^T P X + \tilde{\rho}^T \Gamma \tilde{\rho} \quad (34)$$

که Γ یک ماتریس مثبت معین متقاضن و P حل معادله $A^T P + P A = -Q$ برای یک ماتریس مثبت معین متقاضن Q می‌باشد. پایداری یک سیستم طبق روش لیاپانوف در صورتی امکان‌پذیر است که مشتق تابع لیاپانوف نسبت به زمان همواره منفی باشد. حال مشتق تابع لیاپانوف برسی می‌شود:

$$\begin{aligned} \dot{V} &= \dot{X}^T P X + X^T P \dot{X} + \dot{\tilde{\rho}}^T \Gamma \tilde{\rho} + \tilde{\rho}^T \Gamma \dot{\tilde{\rho}} = \\ &\dot{X}^T P X + X^T P \dot{X} + 2\tilde{\rho}^T \Gamma \dot{\tilde{\rho}} = \\ &\text{با جایگذاری } \dot{X} \text{ از رابطه (32) در رابطه فوق و بسط روابط، می‌توان نوشت:} \\ &\dot{V} = (AX + B\tilde{M}^{-1}K\tilde{\rho})^T P X + \\ &X^T P(AX + B\tilde{M}^{-1}K\tilde{\rho}) + 2\tilde{\rho}^T \Gamma \dot{\tilde{\rho}} = \\ &X^T A^T P X + (B\tilde{M}^{-1}K\tilde{\rho})^T P X + X^T P A X + \\ &X^T P B \tilde{M}^{-1} K \tilde{\rho} + 2\tilde{\rho}^T \Gamma \dot{\tilde{\rho}} = \\ &X^T (A^T P + PA) X + 2(B\tilde{M}^{-1}K\tilde{\rho})^T P X + 2\tilde{\rho}^T \Gamma \dot{\tilde{\rho}} = \\ &-X^T Q X + 2\tilde{\rho}^T K^T (\tilde{M}^{-1})^T B^T P X + 2\tilde{\rho}^T \Gamma \dot{\tilde{\rho}} \end{aligned} \quad (36)$$

از رابطه فوق، قانون تطبیق به گونه‌ای استخراج می‌شود که تابع \dot{V} منفی گردد. ماتریس Q مثبت معین است، بنابراین عبارت $-X^T Q X$ مقداری منفی خواهد بود. درنتیجه اگر مجموع دو جمله انتهایی رابطه (36) صفر یا

ردیابی مسیر مطلوب از پیش تعیین شده و تضمین پایداری با وجود عدم قطعیت در جرم و ممان‌های اینرسی مجری نهایی می‌باشد. برای این منظور از روش مدل مرجع¹ استفاده شده است. به این صورت که قانون کنترل براساس روش خطی‌سازی پسخوراند و قانون تطبیق براساس تئوری پایداری لیاپانوف استخراج شده است.

4-1- قانون کنترل

در کنترل تطبیقی به دلیل آنکه اطلاعات دقیق و کامل از پارامترهای سیستم در دست نمی‌باشد قانون کنترل براساس مقادیر تخمینی طراحی می‌شود. در روش خطی‌سازی پسخوراند بزرگترین مرتبه مشتق خروجی سیستم برابر سیگنال کنترلی 7 قرار داده می‌شود [15]:

$$\ddot{x} = v \quad (21)$$

بنابراین معادله حرکت به رابطه (22) تغییر می‌یابد:

$$\tilde{M}(x)v + \tilde{N}(x, \dot{x})\dot{x} + \tilde{G}(x) = -J^T(x)u \quad (22)$$

در رابطه فوق، \tilde{M} ، \tilde{N} و \tilde{G} همان رابطه‌های M ، N و G با مقادیر تخمینی هستند. قانون کنترل برای تعیین سیگنال کنترلی 7 برای سیستم مرتبه 2 به صورت رابطه (23) است:

$$v = \dot{x}_d - k_d \dot{e} - k_p e \quad (23)$$

در رابطه بالا k_d و k_p ماتریس‌های بهره نامیده می‌شوند که معمولاً به صورت ماتریس‌های قطری تعریف می‌شوند. بردار خطای تعقیب سیستم می‌باشد. با توجه به روابط (22) و (23)، ورودی کنترلر به صورت رابطه (24) بدست می‌آید:

$$u = (-J^T)^{-1}(\tilde{M}(\dot{x}_d - k_d \dot{e} - k_p e) + \tilde{N} + \tilde{G}) \quad (24)$$

به علت محدودیت ربات‌های کابلی که کابل‌ها تنها قادر به اعمال نیروی کششی هستند، قوانین کنترل را نمی‌توان مستقیماً به کار برد. باید الگوریتمی که ورودی کنترلر را به کشش مثبت کابل‌ها از رابطه (24) محاسبه می‌سازد، اگر الگوریتم استفاده شده ابتدا کشش کابل‌ها از رابطه (24) اعمال گردد. تمامی مؤلفه‌ها مثبت باشد به سیستم وارد می‌شود ولی اگر حداقل یکی از مؤلفه‌های آن منفی باشد محاسبات با استفاده از دستور (25) انجام می‌گیرد:

$$\min \|Au - b\| \quad (25)$$

که روابط A و b به صورت رابطه (26) می‌باشد:

$$A = -J^T \quad (26)$$

$b = \tilde{M}(\dot{x}_d - k_d \dot{e} - k_p e) + \tilde{N} + \tilde{G}$ با جایگذاری قانون کنترل در معادله حرکت سیستم و با اضافه کردن ترم $\tilde{M}\dot{x}$ به طرفین، معادله دینامیکی خطای ریدیابی مسیر در حضور عدم قطعیت‌ها به صورت رابطه (27) بدست می‌آید:

$$\tilde{M}(\ddot{e} + k_d \dot{e} + k_p e) = \tilde{M}\dot{x} + \tilde{N} + \tilde{G} \quad (27)$$

در رابطه فوق، \tilde{M} و \tilde{N} خطای تخمین پارامترهای سیستم است که به صورت تفاضل بین پارامترهایی که توسط قانون تطبیق حاصل می‌شوند و پارامترهای ایده‌آل تعریف می‌شود یعنی:

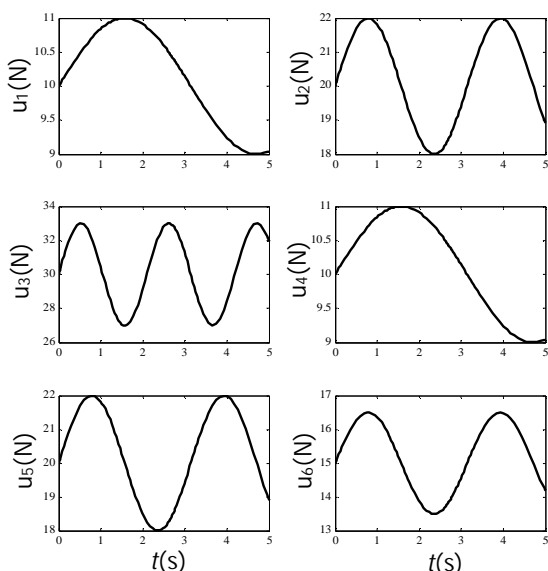
$$\tilde{M} = \bar{M} - M \quad (28)$$

$$\tilde{N} = \bar{N} - N \quad (28)$$

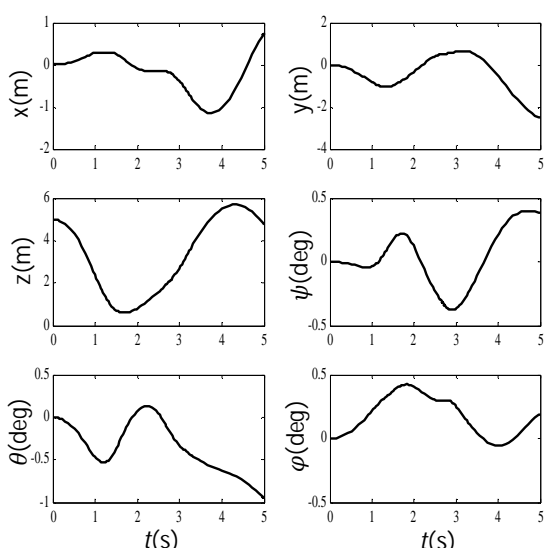
$$\tilde{G} = \bar{G} - G \quad (28)$$

1- Model Reference Adaptive Control(MRAC)

وروودی‌های در نظر گرفته شده برای کشش کابل‌ها به صورت شکل 4 است. نمودار موقعیت و چرخش مجری نهایی در شکل 5 و نمودار سرعت انتقالی و زاویه‌ای آن به ازای وروودی اعمال شده، در شکل 6 نمایش داده شده است. مشاهده می‌شود که سیستم رفتاری کاملاً ناپایدار دارد. بنابراین برای پایدار کردن مجری نهایی در یک موقعیت مطلوب باید از کنترلر مناسبی بهره گرفت. تغییر طول کابل‌ها در ازای وروودی اعمالی مطابق شکل 7 می‌باشد. برای بررسی عملکرد کنترلر طراحی شده در تضمین پایداری سیستم حلقه بسته در حضور عدم قطعیت‌ها، یک شبیه‌سازی در نرم‌افزار متلب انجام شده است. هدف این است مجری نهایی مسیر دایره‌ای به شعاع 1 متر در فضا را با وجود عدم قطعیت در جرم و ممان‌های اینرسی ریبایی کند ضمن اینکه نیروی کششی کابل‌ها در تمام مانورهای حرکتی مثبت باشند. پارامترهای مجهول سیستم به صورت متغیر با زمان در نظر گرفته شده است. برای نشان دادن قابلیت کنترلر تطبیقی در برخورد با عدم قطعیت‌ها، مقایسه‌ای بین نتایج این روش با روش خطی‌سازی پسخواراند انجام شده است.



شکل 4 کشش وروودی کابل‌ها



شکل 5 پاسخ زمانی موقعیت و چرخش مجری نهایی

مقداری منفی شود، آنگاه $\hat{\rho}$ منفی معین می‌شود و پایداری سیستم تضمین می‌گردد. بنابراین نحوه به روز شدن پارامترها به صورت رابطه (37) بدست می‌آید:

$$\hat{\rho} = -\Gamma^{-1} K^T (\hat{M}^{-1})^T B^T P X \quad (37)$$

با انتخاب قانون تطبیق به صورت رابطه فوق، پایداری مجانبی سیستم دینامیکی (32) تضمین می‌شود. با استفاده از کنترلر تطبیقی طراحی شده هدف تعییب کامل ربات شش کابلی فضایی به خوبی انجام می‌گیرد و همچنین پارامترهای متغیر سیستم که شامل جرم و ممان اینرسی‌های صفحه متحرک هستند تخمین زده می‌شود.

5- شبیه‌سازی

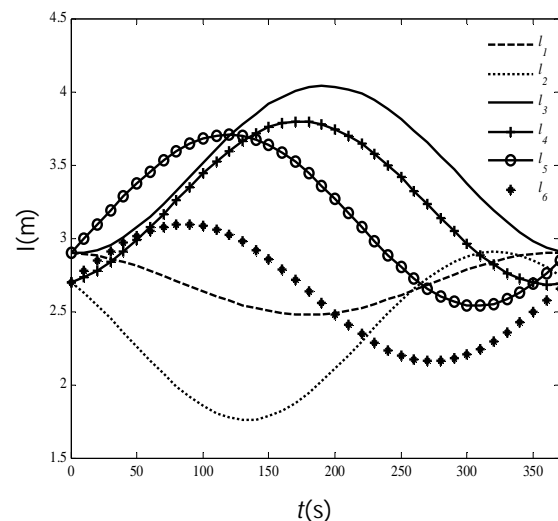
در بخش 2 ماتریس ژاکوبین ربات موزی شش کابلی فضایی استخراج شد. اگر مسیر حرکت مجری نهایی مشخص باشد طول کابل‌ها به کمک این ماتریس قابل محاسبه می‌باشد [9]. در این بخش ابتدا یک شبیه‌سازی عددی از سینماتیک مکوکس ربات مورد بررسی انجام شده است. مسیر حرکت مجری نهایی، که در اینجا شش ضلعی منتظم است، مطابق رابطه (38) در نظر گرفته شده است:

$$\begin{aligned} x &= 1.85 - 0.6 \cos(0.0167t) \\ y &= 2.5 \cos\left(\frac{\pi}{6}\right) + 0.6 \sin(0.0167t) \\ z &= 1.3 \end{aligned} \quad (38)$$

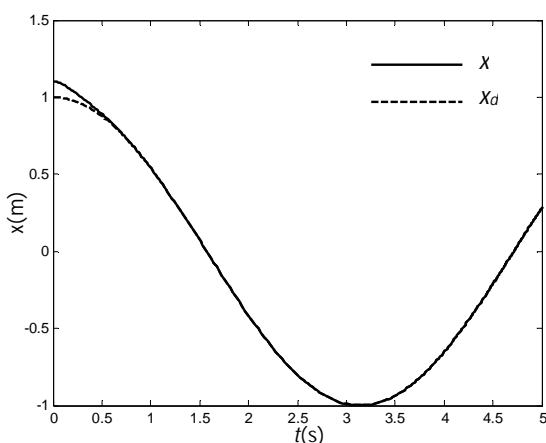
این دایره در صفحه‌ای به موازات صفحه $x-y$ -قرار دارد. قابل ذکر است که در این شبیه‌سازی زوایای θ, φ, ψ برابر 350 درجه و شعاع‌های r_b و r_e هر دو 6 متر در نظر گرفته شدند. تغییرات طول شش کابل به ازای مسیر در نظر گرفته شده، مطابق شکل 3 بدست آمده است.

در بخش 3 معادلات حرکت ربات شش کابلی شش درجه آزادی بدست آمد. در اینجا یک مدل نرم‌افزاری برای دینامیک سیستم ارائه شده است. هدف اصلی یافتن پاسخ زمانی سیستم به ازای یک وروودی مشخص می‌باشد. در این شبیه‌سازی مقادیر جرم و ممان‌های اینرسی مجری نهایی به صورت زیر انتخاب شده است:

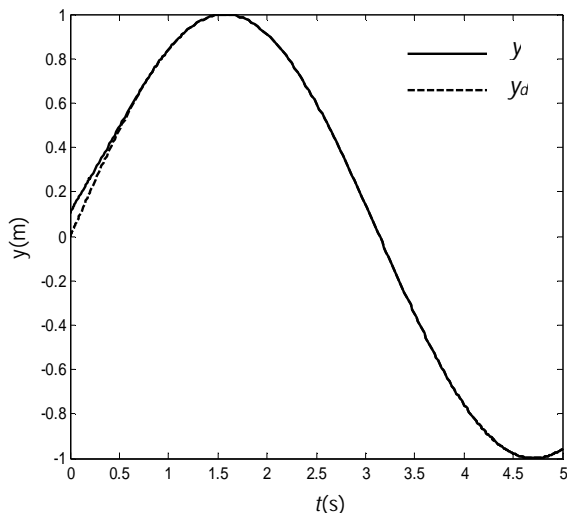
$$\begin{aligned} m &= 6 \text{ kg}, I_{xx} = 52.2 \text{ kg.m}^2, I_{yy} = 52.2 \text{ kg.m}^2, \\ I_{zz} &= 104.4 \text{ kg.m}^2, \quad I_{xy} = I_{xz} = I_{yz} = 0 \text{ kg.m}^2 \end{aligned} \quad (39)$$



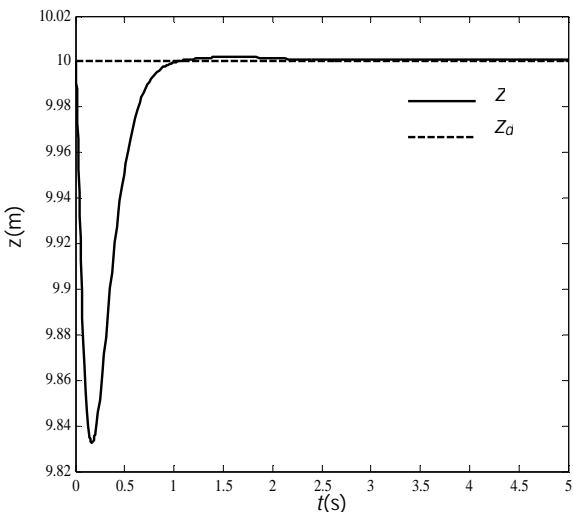
شکل 3 تغییرات طول کابل‌ها



شکل 8 تعقیب مسیر مطلوب در جهت x با اعمال کنترل تطبیقی

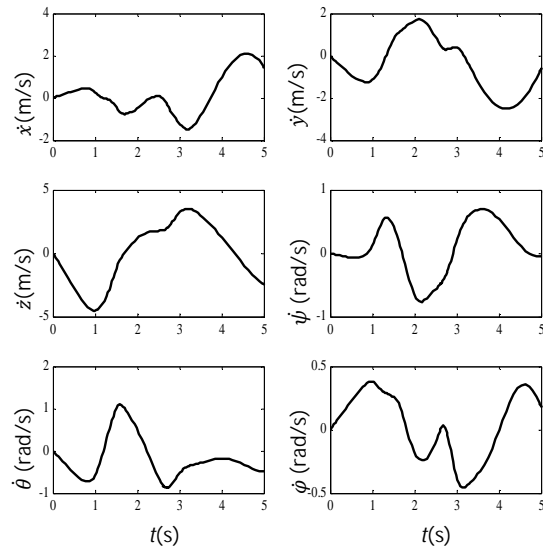


شکل 9 تعقیب مسیر مطلوب در جهت y با اعمال کنترل تطبیقی

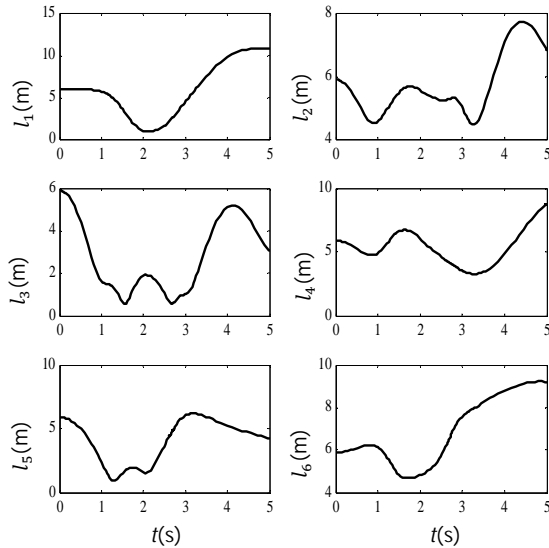


شکل 10 تعقیب مسیر مطلوب در جهت z با اعمال کنترل تطبیقی

موقعیت اولیه ریات به صورت $X_0 = [1.1, 0.1, 10, 0, 0, 0]^T$ و سرعت‌های اولیه صفر در نظر گرفته شدند. مقادیر پارامترهای تخمینی و واقعی استفاده شده در این شبیه‌سازی، در جدول 1 مشخص شده است. مسیر مطلوب مجری نهایی به شعاع یک متر در نظر گرفته شده است. همچنین فرض شده که زوایای چرخشی مطلوب مجری نهایی، صفر باشند. نمودارهای رسم شده در شکل‌های 8 تا 15، عملکرد کنترل را در ردیابی مسیر مطلوب از پیش تعیین شده و تخمین پارامترهای مجهول سیستم نشان می‌دهند.



شکل 6 پاسخ زمانی سرعت مجری نهایی



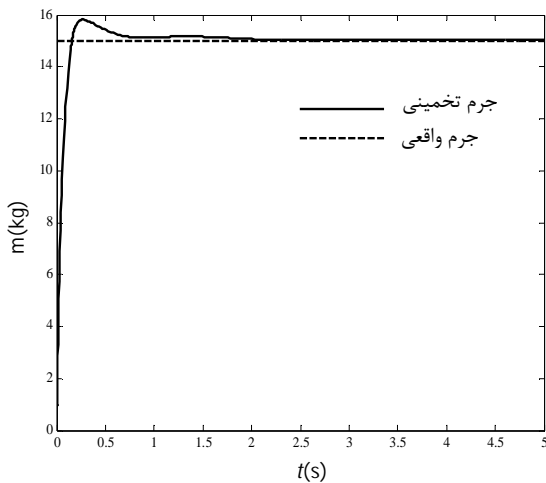
شکل 7 تغییر طول کابل‌ها در ازای ورودی

جدول 1 پارامترهای سیستم

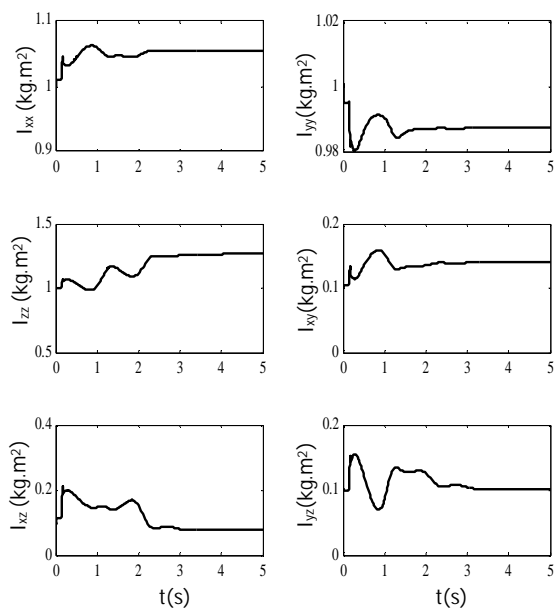
پارامترها	مقادیر تخمینی	مقادیر واقعی
m [kg]	1	15
I_{xx} [kg.m ²]	1	1/25
I_{yy} [kg.m ²]	1	0/75
I_{zz} [kg.m ²]	1	2
I_{xy} [kg.m ²]	0/1	0
I_{xz} [kg.m ²]	0/1	0
I_{yz} [kg.m ²]	0/1	0

با وجود این، همان‌طور که نشان داده شد، سیستم کنترلی به خوبی عمل کرده و مسیر مطلوب تعیین شده با دقت طی می‌شود. به عبارت دیگر با وجود آنکه پارامترهای مجھول سیستم به طور دقیق شناسایی نمی‌شوند اما هدف کنترلی مورد نظر که تعقیب مسیر مطلوب است به خوبی برآورده می‌شود. این مطلب مزبت کنترلر تطبیقی نسبت به سایر کنترلرهای غیرخطی را نشان می‌دهد، که برای تضمین هدف کنترلی ضرورتی برای شناسایی دقیق سیستم وجود ندارد. صرفاً عدم واگرایی در تخمین پارامترهای مجھول سیستم کفايت می‌کند.

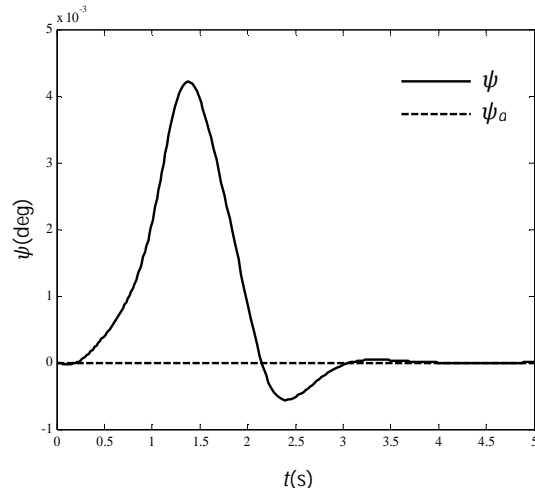
نمودار کشش کابل‌ها در طی حرکت، مطابق شکل 16 بdst آمده است. مشاهده می‌شود که مقادیر هر شش کشش کابل مثبت و بعد از رسیدن حالت‌ها به مسیر مطلوب در مقدار مثبتی ثابت می‌شود. بدین ترتیب هدف کنترلی مورد نظر که رديابی با وجود عدم قطعیت‌ها، همزمان با حفظ کشش مثبت در کابل‌ها می‌باشد، به خوبی تضمین می‌گردد.



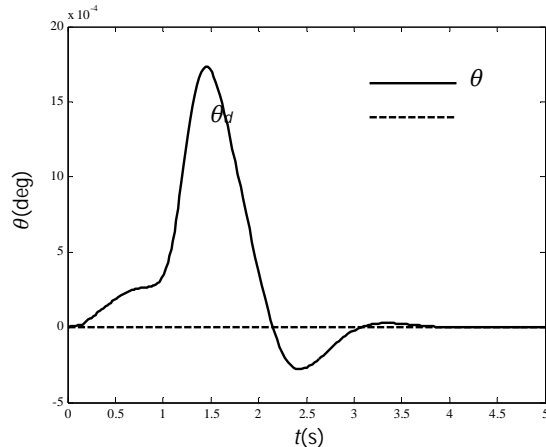
شکل 14 تخمین جرم ربات در روش کنترل تطبیقی



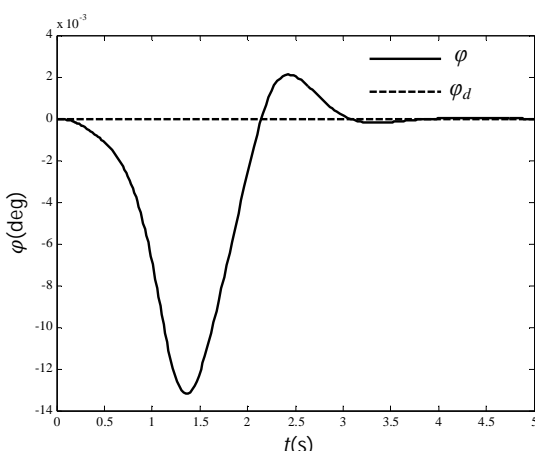
شکل 15 تخمین ممان اینرسی مجری نهایی



شکل 11 زاویه چرخش واقعی و مطلوب مجری نهایی حول محور X



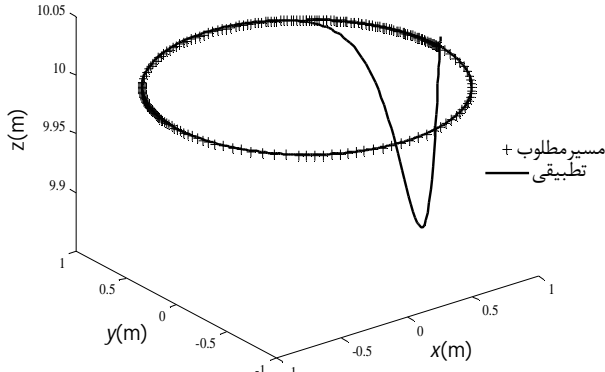
شکل 12 زاویه چرخش واقعی و مطلوب مجری نهایی حول محور Y



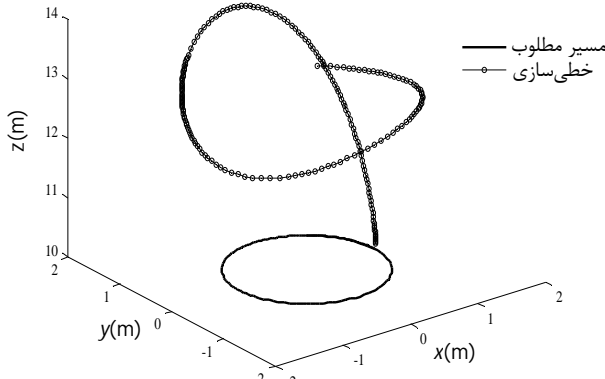
شکل 13 زاویه چرخش واقعی و مطلوب مجری نهایی حول محور Z

همان‌طور که مشاهده می‌شود مسیرهای منحرف شده همگرایی خوبی به پارامترهای سیستم به کمک این کنترل‌کننده با دقت بالایی مسیر دلخواه داده شده را دنبال می‌کند. نمودارهای 14 و 15 مربوط به تخمین پارامترها می‌باشد. نکته حائز اهمیت در تخمین پارامترهای مجھول ربات این است که خطای مربوط به تخمین جرم در نهایت به صفر می‌رسد. اما مؤلفه‌های ممان اینرسی با یک خطای ماندگار در مقداری غیر از مقدار واقعی همگرا می‌شوند.

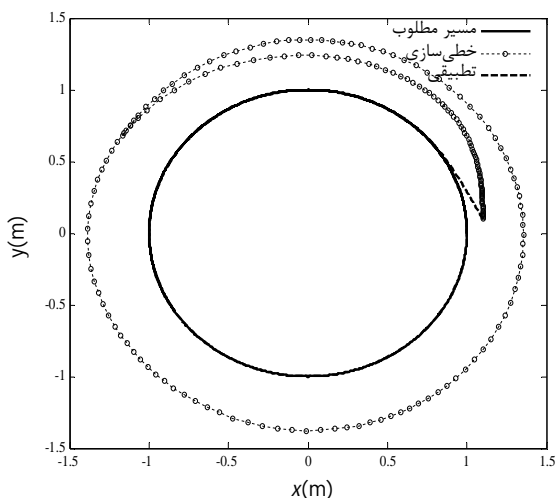
نتایج بدست آمده از مقایسه روش کنترل تطبیقی با روش های خطی سازی در شکل های 19 تا 21 نشان داده شده است.



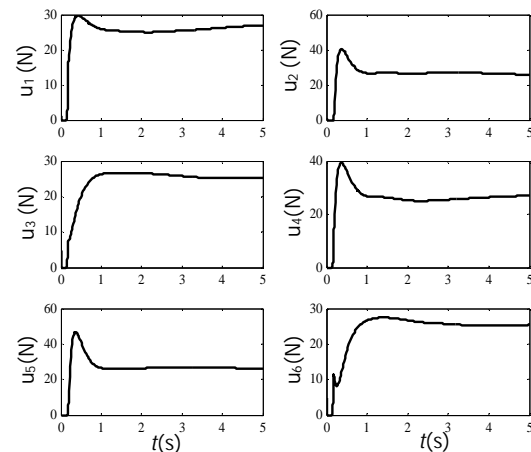
شکل 19 نمودار سه بعدی از عملکرد کنترلر تطبیقی در حضور عدم قطعیت



شکل 20 نمودار سه بعدی از عملکرد کنترلر خطی سازی پسخوراند در حضور عدم قطعیت

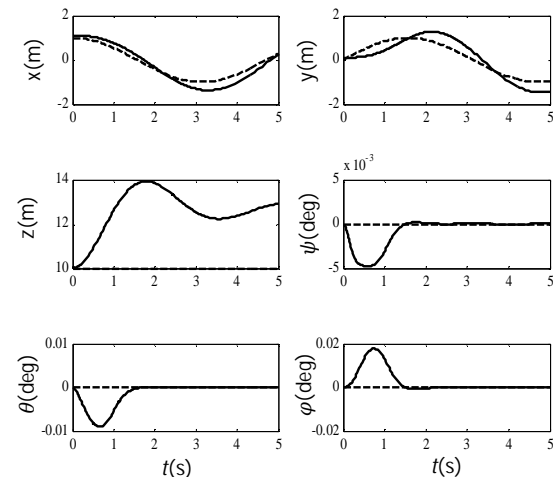


شکل 21 مقایسه عملکرد کنترلر خطی سازی پسخوراند و تطبیقی در راستای x و y

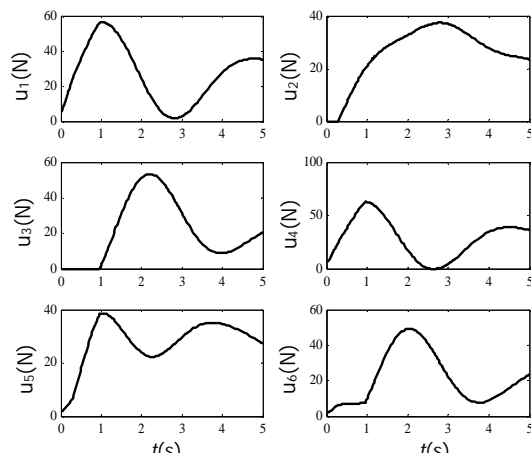


شکل 16 نمودار کشش کابلها در روش کنترل تطبیقی

نمودارهای ردیابی و کشش کابلها ورودی بدست آمده از روش خطی سازی پسخوراند با وجود عدم قطعیت در جرم و ممان اینرسی مجری نهایی به ترتیب در شکل های 17 و 18 نشان داده شده است.



شکل 17 ردیابی مسیر با اعمال کنترلر خطی سازی پسخوراند در حضور عدم قطعیت
— مسیر مطلوب و - مسیر واقعی)



شکل 18 نمودار کشش کابلها با اعمال کنترلر خطی سازی پسخوراند

7 - مراجع

- [1] A. Afshari, A. Meghdari, New Jacobian matrix and equations of motion for a 6 d.o.f cable-driven robot, *International Journal of Advanced Robotic Systems*, Vol. 4, No. 1, pp. 63–68, 2007.
- [2] Y.B. Bedoustanti, H. D. Taghirad, M. M. Aref, Dynamics Analysis of A Redundant Parallel Manipulator Driven By Elastic Cables, *The 10th International Conference on Control, Automation, Robotics and Vision*, Hanoi, Vietnam, 2008.
- [3] A. A. Basar, S. K. Agrawal, Cable Suspended Robots: Feedback Controllers with Positive Inputs, *the American Control Conference*, pp. 815-820, Anchorage, 2002.
- [4] S. E. Landsberger, T. B. Sheridan, A Minimal Linkage: The Tension Compression Parallel Link Manipulator, in Proceeding of the International Symposium on Robotics, *Mechatronics and Manufacturing Systems*, pp. 81-88, 1993.
- [5] S. A. Khalilpour, H. D. Taghirad, M. Aliyari Shoorehdeli, M. Tale Masouleh, Applying evolutionary algorithms in multi-objective optimization of planar cable-driven parallel robots, *Modares Mechanical Engineering*, Vol. 14, No. 5, pp. 44-54, 1393 (In Persian).
- [6] O. S. Ryeok, K. Mankala and S. K. Agrawal, A Dual-Stage Planar Cable Robot : Dynamic Modeling and Design of A Robust Controller with Positive Inputs, *Mechanical Design*, Vol. 127, No. 3, JULY 2005.
- [7] O. S. Ryeok, J. Ch. Ryu, S. K. Agrawal, dynamics and control of a helicopter carrying a payload using a cable-suspended robot, *Journal of Mechanical Design*, Vol. 128, No. 5, pp. 1113-1121, 2005.
- [8] O. S. Ryeok, S. K. Agrawal, A Reference Governor Based Controller for a Cable Robot Under Input Constraints, *Control System Technology*, Vol. 13, No. 4, pp. 639-645, 2005.
- [9] B. Zi, B. Y. Duan, J. L. Du, H. Bao, Dynamic modeling and active control of a cable-suspended, *Journal of Mechatronics*, Vol. 18, No. 1, pp. 1-12, February 2008.
- [10] A. Alikhani, M. Vali, Modeling and Robust Control of a New Large Scale Suspended Cable-driven Robot Under Input Constraint, in *the8th International Conference on Ubiquitous Robots and Ambient Intelligence*, Songdo ConventiA, Incheon, Korea, 2011.
- [11] M. Zarebidoki, A. Lotfavar, H. R. Fahham, Dynamic Modeling and Adaptive Control of a Cable-suspended Robot, in *Proceeding of The World Congress on Engineering*, 2011.
- [12] M. A. Khosravi, H. D. Taghirad, dynamic analysis and control of cable driven robots with elastic cables, *Transactions of the Canadian Society for Mechanical Engineering*, Vol. 35, No. 4, pp. 543-557, 2011.
- [13] J. J. Craig, *Introduction to Robotics: Mechanics and Control*, Second Edition, Addison-Wesley, 1989.
- [14] X. You, W. Chen, Sh. Yu, X. Wu, Dynamic Control of a 3-DOF Cable-Driven Robot Based on Backstepping Technique, *6th Conference on Industrial Electronics and Applications*, pp. 1302-1307, 2011.
- [15] J. E. Slotine, W. Li, *Applied Nonlinear Control*, Prentice Hall, 1991.

نمای سه بعدی از عملکرد سیستم حلقه بسته با اعمال کنترل تطبیقی و خطی‌سازی پسخوراند به ترتیب در نمودارهای 19 و 20 مشاهده می‌شود. در روش کنترل تطبیقی مجری نهایی کاملاً بر مسیر مطلوب منطبق شده ولی در روش خطی‌سازی پسخوراند ردیابی به درستی انجام نشده است. در نمودار 21 نمای دو بعدی از عملکرد دو روش کنترل تطبیقی و خطی‌سازی پسخوراند نشان داده شده است. با توجه به نمودارها مقاوم بودن کنترل تطبیقی در مقابل عدم قطعیت‌ها بهوضوح مشاهده می‌شود.

6 - نتیجه‌گیری

در این مقاله ماتریس ژاکوبین، دینامیک و کنترل تطبیقی یک ربات شش کابلی شش درجه آزادی مورد بررسی قرار گرفت. در روش کنترل تطبیقی علاوه بر طراحی قانون کنترل که براساس آن ورودی سیستم تعیین می‌شود، نیاز به طراحی قانون تطبیق نیز می‌باشد، که با استفاده از آن پارامترهای مجهول سیستم تخمین زده می‌شوند. روش بیان شده در این مقاله برای طراحی سیستم کنترل تطبیقی، به صورت تاليفی از روش کنترل خطی‌سازی پسخوراند و پایداری لیپانوف می‌باشد. قانون کنترل به روش خطی‌سازی پسخوراند و قانون تطبیق با استفاده از معیار پایداری لیپانوف طراحی شده است. رفتار ربات‌های کابلی، به علت ویژگی منحصر به فرد کابل‌ها در عدم تحمل نیروی فشاری، متفاوت از سایر ربات‌های موادی می‌باشد و روش‌های کنترلی مستقیماً قابل استفاده برای ربات‌های کابلی نمی‌باشد. کشش کابل‌ها در مدت زمان حرکت باید مثبت باشد. برای این منظور از الگوریتمی برای مثبت سازی کابل‌ها استفاده گردید. از طریق چندین شبیه‌سازی صحت مدل سینماتیکی، دینامیکی و عملکرد کنترلر اعمال شده نشان داده شد. در پایان به منظور نشان دادن مقاومت روش کنترل تطبیقی در برابر نامعینی‌ها، مقایسه‌ای بین روش کنترل تطبیقی با روش خطی‌سازی پسخوراند صورت گرفت. نتایج شبیه‌سازی نشان می‌دهد با استفاده از کنترل تطبیقی طراحی شده، مجری نهایی علی‌رغم وجود عدم قطعیت در پارامترهای سیستم به خوبی می‌تواند مسیر مطلوب را ردیابی کند و پایدار شود.